4. 調査結果

4-1. 地表地質踏査結果

表 4-1-1 に本調査地に分布する地層層序表、図 4-1-1 に土木地形地質図を添付する。詳細な踏査結果については、巻末資料に地表地質踏査結果写真集を添付する。土木地形地質図の写真撮影番号は、巻末資料の踏査写真集の番号に対応している。

以下に、調査地の主となる地層性状および、崩壊・落石・湧水状況等を示す。

(1) 虚空蔵累層礫岩砂岩相 (Fsc)

本調査地で最も広く分布する基盤岩である。礫岩砂岩相は、礫岩が優勢であるが、凝 灰質な砂岩やシルト岩を挟在する場合がある。また礫岩の礫混入量が著しく少なくなる ところがあり、性状は変わらないものの砂岩相を呈することがある。



写真-1; DH 級の円摩した硬質礫を含む礫岩。基質が軟質で礫の抜け落ちが見られる。礫径は ϕ 2~10mm が主体(調査地全体でも ϕ 40mm ぐらいまで)である。 (P-14*) ※踏査写真集との対応番号

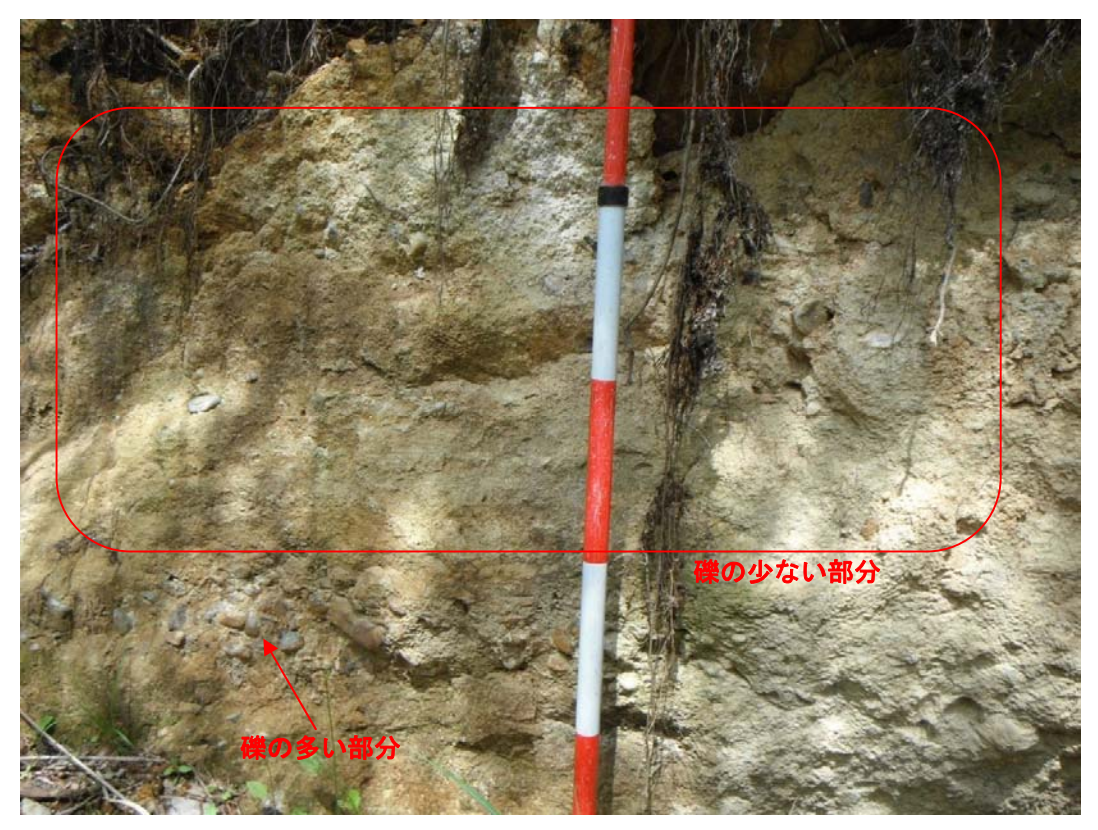


写真-2; 礫岩層であるが礫の混入は非常に少なく、漸移的に砂岩相を呈す。写真 左下には薄層状に礫を挟む。(P-44)



写真-3;シルト岩の露頭。低角な層理面がある。N50E 8S。シルト岩は固結度が低く、容易に崩れる。DH級。(P-48)

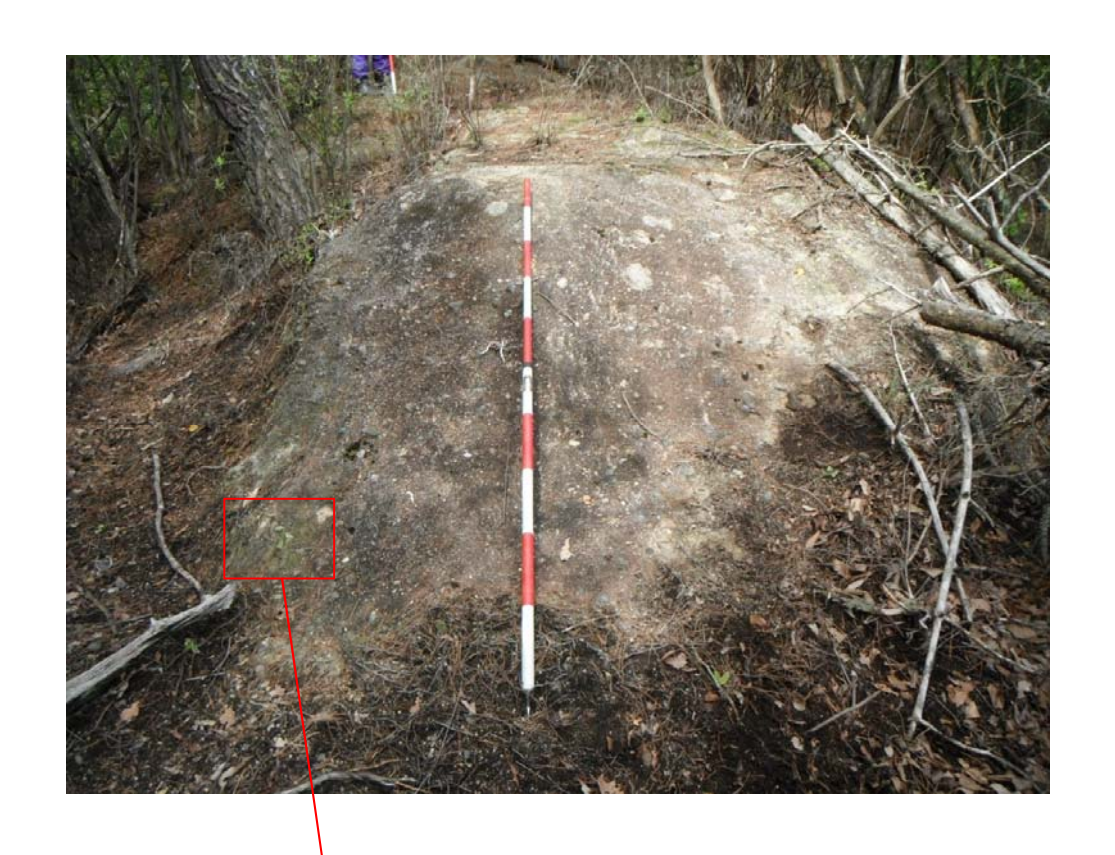




写真-4; 尾根筋に露出した礫岩。CL-CM。礫は硬質だが基質部のほうは若干軟く、ハンマーでわずかに削ることができる。(P-22)

(2)領家変成岩類 片麻岩 (Rg)

虚空蔵累層礫岩砂岩相の下位に分布している。調査地で確認できるのは、岩井川周辺の山体および盛土法面下方の基盤岩である。片麻岩は、岩質は硬くCL級~CM級以上の岩級である。



写真-5; 節理面の発達した塊状の片麻岩。珪質で硬質である。CM級。節理面は N40W 70S、N80E 52N、N35E 60S。(P-65)



写真-6;岩井川の砂防ダム左岸側の斜面状況。硬質な片麻岩の露頭が確認される。節理面は、EW 60N、N60W 50N が卓越している。(P-80)

(3)崩壊・落石・湧水状況等

調査地は表層崩壊跡が多く分布している。これらは古い時期のもので新しい崩壊発生跡や顕著な崩壊の進行等は確認されなかった。

落石は谷部に散見されることもあるが、数自体は少ない。湧水は谷部に数地点で確認 されている。地すべりは調査地内には認められなかった。



写真-7;1m×0.8m程度の砂岩転石。(P-74)



写真-8;崩壊中腹部。土砂の堆積は厚いものと想定される。崩壊は古く側部の形状が不明瞭である。(P-73)



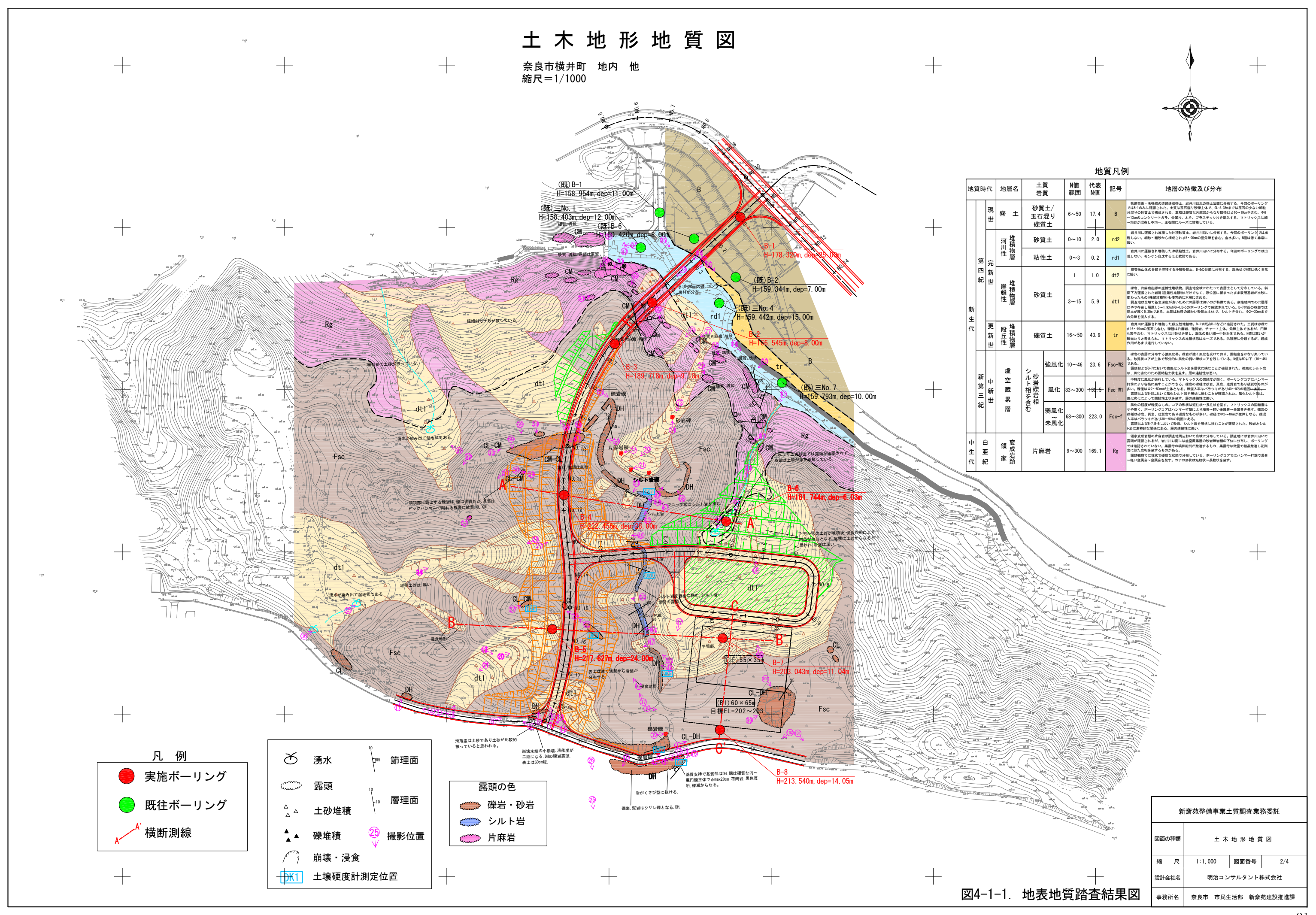
写真-9;盛土計画部付近。湧水が滴下程度に流れる。(P-96)



写真-10;尾根筋に露出する礫岩。CL-CM。尾根部は形状がしっかりしており、基盤岩は浅部から分布する。(P-29)

表 4-1-1. 地層層序表

	表 4-1-1. 地層層序表									
	地質 時代		地層名		土質 岩質	地質 記号	節用	値 代表N値	地層の特徴及び分布	
		現世	盛土	Ε	砂質土/ 医石混り 礫質土	В	#4.2m 6~50	17.4	県道奈良・名張線の道路造成盛土。岩井川以北の盛土法面に分布する。今回のボーリングでは B -1のみに確認された。土質は玉石混り砂礫主体で、 GL -3.3 Sm までは玉石の少ない細粒分混りの砂質土で構成される。玉石は硬質な片麻岩からなり礫径は ϕ 10~19 cm を含む。 Φ 6~13 cm 0 m 0	
			堆 河積 川		砂質土	rd2	0~10	2.0	岩井川に運搬され堆積した沖積砂質土。岩井川沿いに分布する。今回のボーリングでは出現しない。細砂〜中砂から構成され ϕ 5 \sim 20 m 0 m 0 m 9 m 9 m 9 m 9 m 0 m 9 m 0 m 9	
			植物性 層		粘性土	rd1	0~3	0.2	岩井川に運搬され堆積した沖積粘性土。岩井川沿いに分布 する。今回のボーリングでは出現しない。モンケン自沈する ほど軟弱である。	
	第四	完				dt2	1	1.0	調査地山体の谷部を埋積する砂質土。B-6の谷部に分布する。湿地状でN値は低く非常に緩い。	
新	1 紀	新世	堆積物層		砂質土	dt1	3∼15	5. 9	礫岩、片麻岩起源の崖錐性堆積物。調査地全域にわたって表層土として分布している。斜面下方運搬された岩屑(崖錐性堆積物)だけでなく、原位置に留まったまま表層基岩が土砂に変わったもの(残留堆積物)も便宜的に本層に含める。調査地は全域で基岩深度が浅いためdtの層厚は薄いのが特徴である。崩壊地内でのdt層厚はやや存在し層厚1.5~1.93mがB-4,B-5のボーリングで確認されている。B-7付近の谷部では崩土が厚く5.35mである。土質は粒径の細かい砂質土主体で、シルトを含む。Φ2~30mmまでの角礫を混入する。	
生代		更新世	堆積物層	礫質土		tr	16~50	43. 9	岩井川に運搬され堆積した段丘性堆積物。B-1や既存B-6などに確認された。土質は砂礫でφ16~19cmの玉石も含む。礫種は片麻岩、珪質岩、チャート主体。角礫主体であるが、円礫も若干含む。マトリックスは川砂状を呈し、淘汰の良い細~中砂主体である。N値は高いが礫当たりと考えられ、マトリックスの堆積状態はルーズである。洪積層に分類するが、続成作用があまり進行していない。	
	新第三般					強風化	Fsc-W2	10~46	23. 6	篠岩の表層に分布する強風化帯。篠岩が強く風化を受けており、固結度をかなり失っている。砂質状コアが主体で部分的に風化の弱い礫状コアを残している。N値は50以下(10~46)である。 露頭およびB-7において強風化シルト岩を層状に挟むことが確認された。強風化シルト岩は、風化劣化のため固結粘土状を呈す。層の連続性は悪い。
			空蔵	空岩蔵礫	砂岩礫岩	風化	Fsc-W1	83~300	133. 5	中程度に風化が進行している。マトリックスの固結度が弱く、ボーリングコアはハンマー打撃により容易に崩すことができる。礫岩の礫種は砂岩、頁岩、珪質岩であり硬質なものが多い。礫径はΦ2~50mmが主体となる。礫混入率はバラツキがあり40~80%の範囲にある。 露頭およびB-8において風化シルト岩を層状に挟むことが確認された。風化シルト岩は、風化劣化によって固結粘土状を呈す。層の連続性は悪い。
			層	相	弱風化~ 未風化	Fsc−f	68~300	223.0	風化の程度が軽度なもの。コアの形状は短柱状〜長柱状を呈す。マトリックスの固結度はやや高く、ボーリングコアはハンマー打撃により濁音〜軽い金属音〜金属音を発す。礫岩の礫種は砂岩、頁岩、珪質岩であり硬質なものが多い。礫径はΦ2〜40mmが主体となる。礫混入率はバラツキがあり30〜90%の範囲にある。 露頭およびB-7, B-8において砂岩、シルト岩を層状に挟むことが確認された。砂岩とシルト岩は漸移的な関係にある。層の連続性は悪い。	
中生代	重	白 変 亜 成領 岩類		片麻岩	Rg	9~300	169. 1	領家変成岩類の片麻岩は調査地周辺おいて広域に分布している。調査地には岩井川沿いで露頭が確認されるが、岩井川以南には虚空蔵累層の砂岩礫岩相の下位に分布し、ボーリングでは確認されていない。黒雲母の縞状配列が発達するもの、黒雲母は微量で結晶発達し花崗岩に似た岩相を呈するものがある。 露頭観察では塊状で硬質な状態で分布している。ボーリングコアではハンマー打撃で濁音〜軽い金属音〜金属音を発す。コアの形状は短柱状〜長柱状を呈す。		



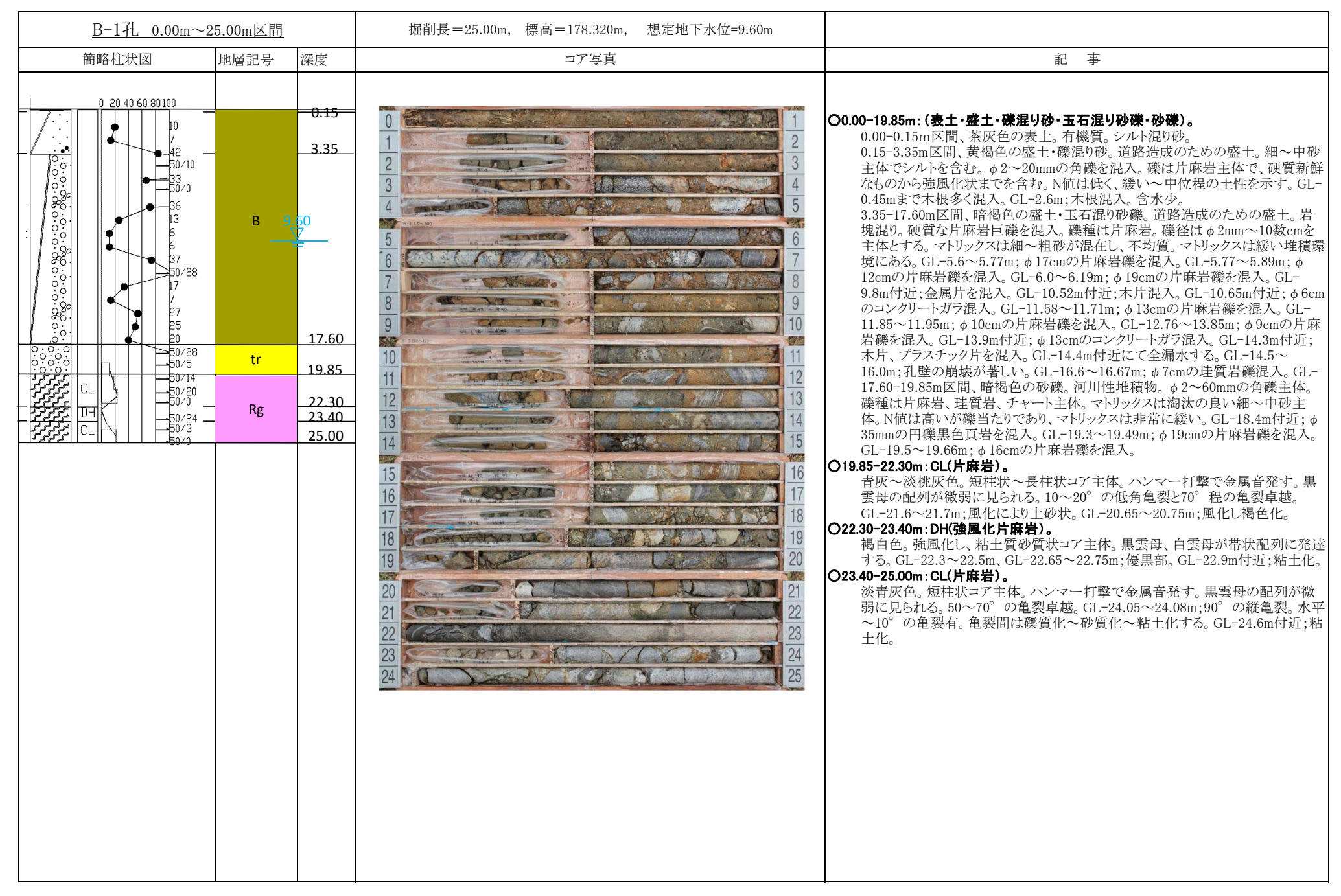
4-2. 機械ボーリング結果

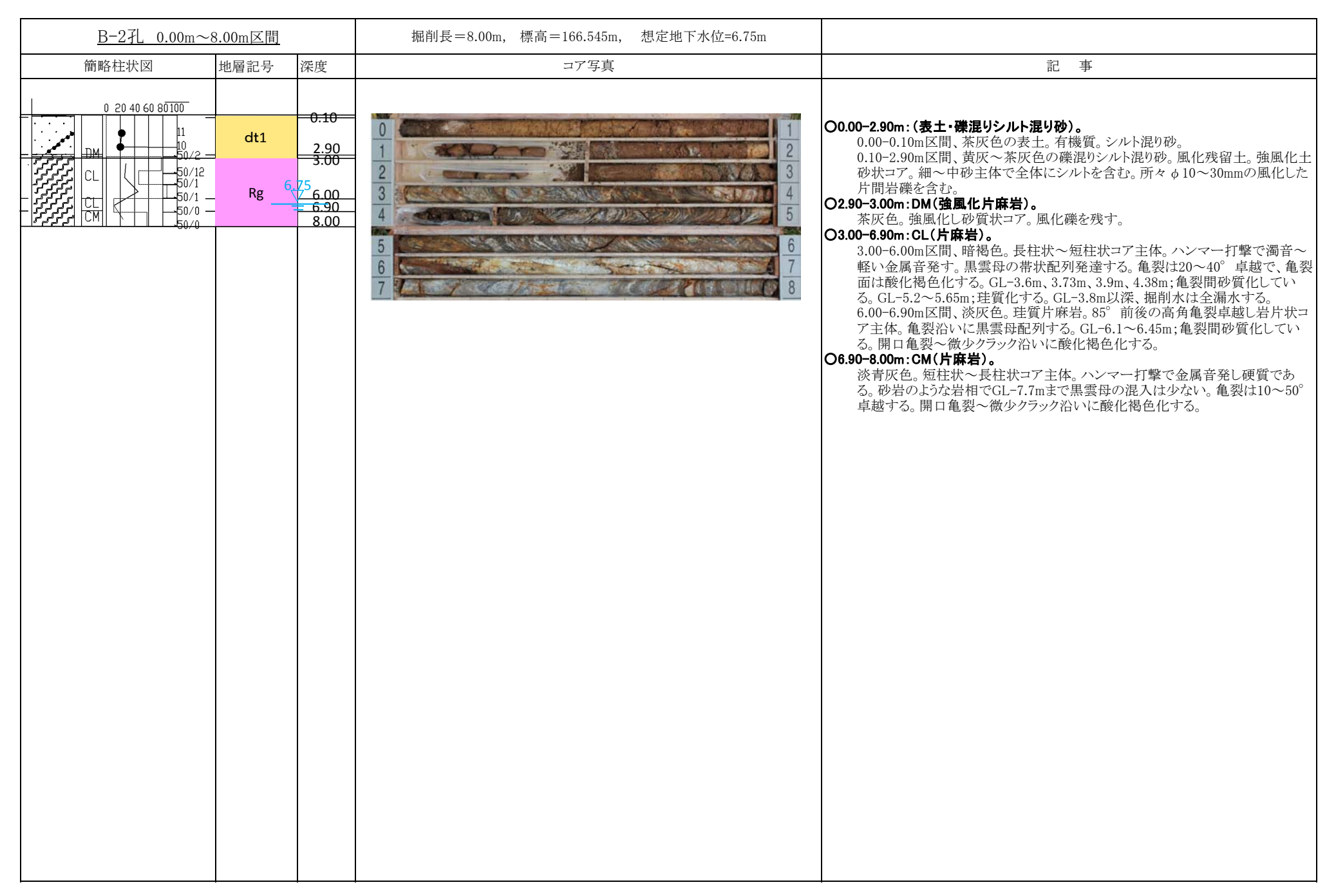
ボーリングの概要を表 4-2-1 に示す。詳細については、巻末にボーリング柱状図とコア写真を添付した。

表 4-2-1. ボーリングの概要

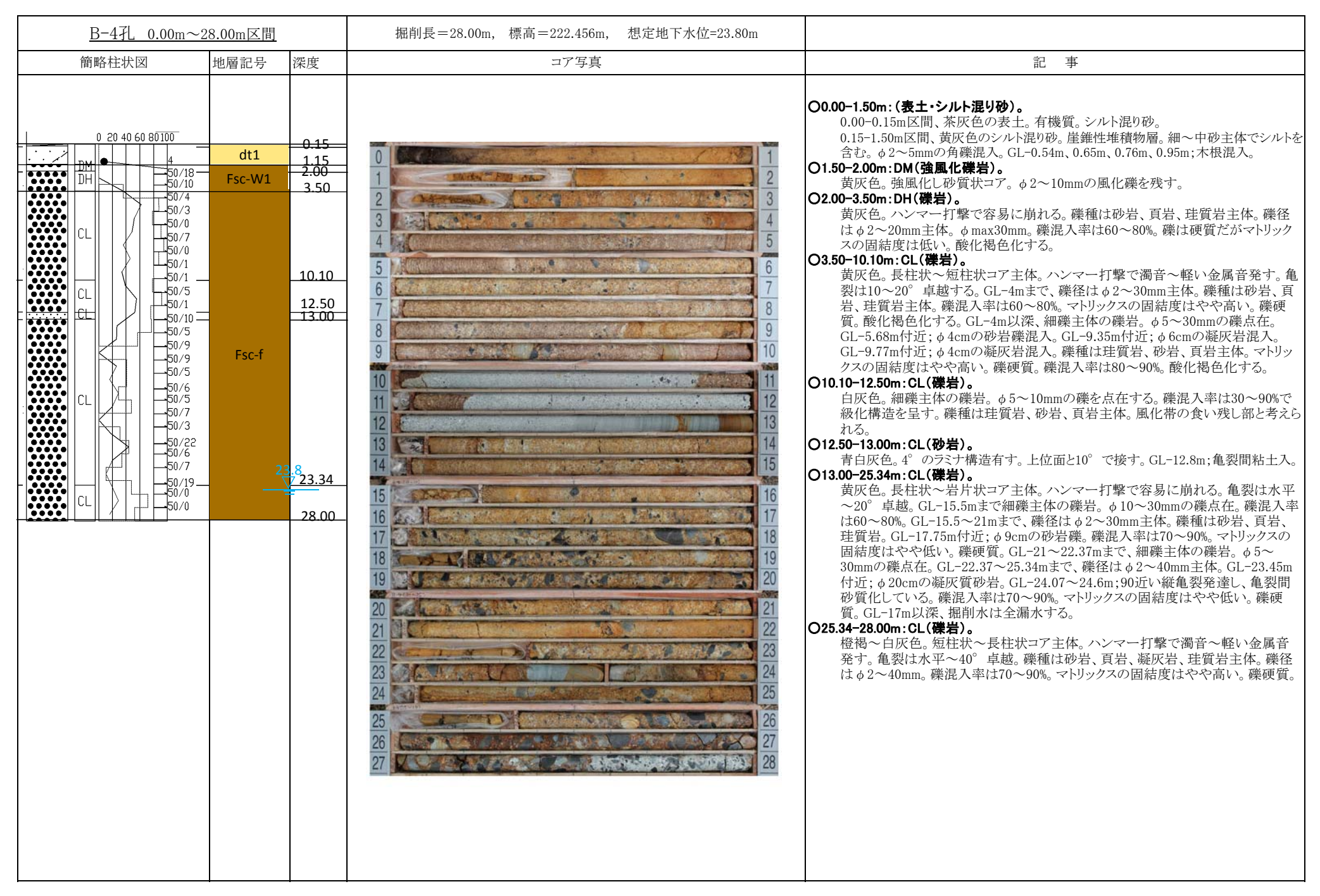
ボーリング 番号	構造物	掘進長 (m)	孔口標高 (TP.m)	掘削目的
B-1	橋梁	25.00	178. 320	地層確認、支持層確認
B-2	橋梁	8.00	166. 545	地層確認、支持層確認
B-3	橋梁	9.10	189. 718	地層確認、支持層確認
B-4	切土	28.00	222. 456	地層確認、切土地山の確 認
B-5	切土	24.00	217. 627	地層確認、切土地山の確 認
B-6	盛土	6.03	181. 744	地層確認、支持層確認
В-7	新斎苑施設	11.04	203. 043	地層確認、支持層確認
B-8	新斎苑施設	14.05	213. 540	地層確認、支持層確認、 掘削地山の確認

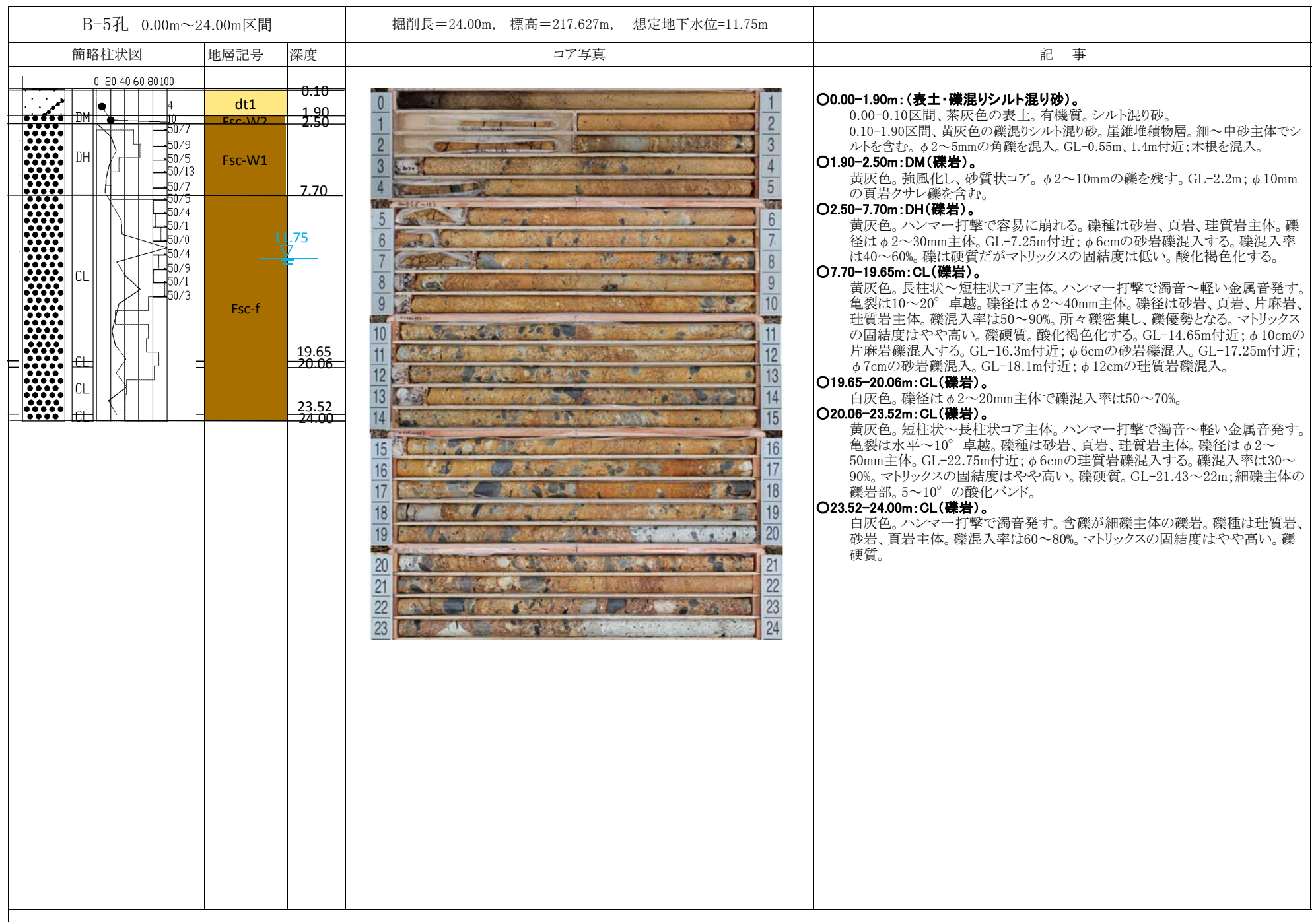
ボーリング調査結果については、図 4-2-1~4-2-8 に一覧する。





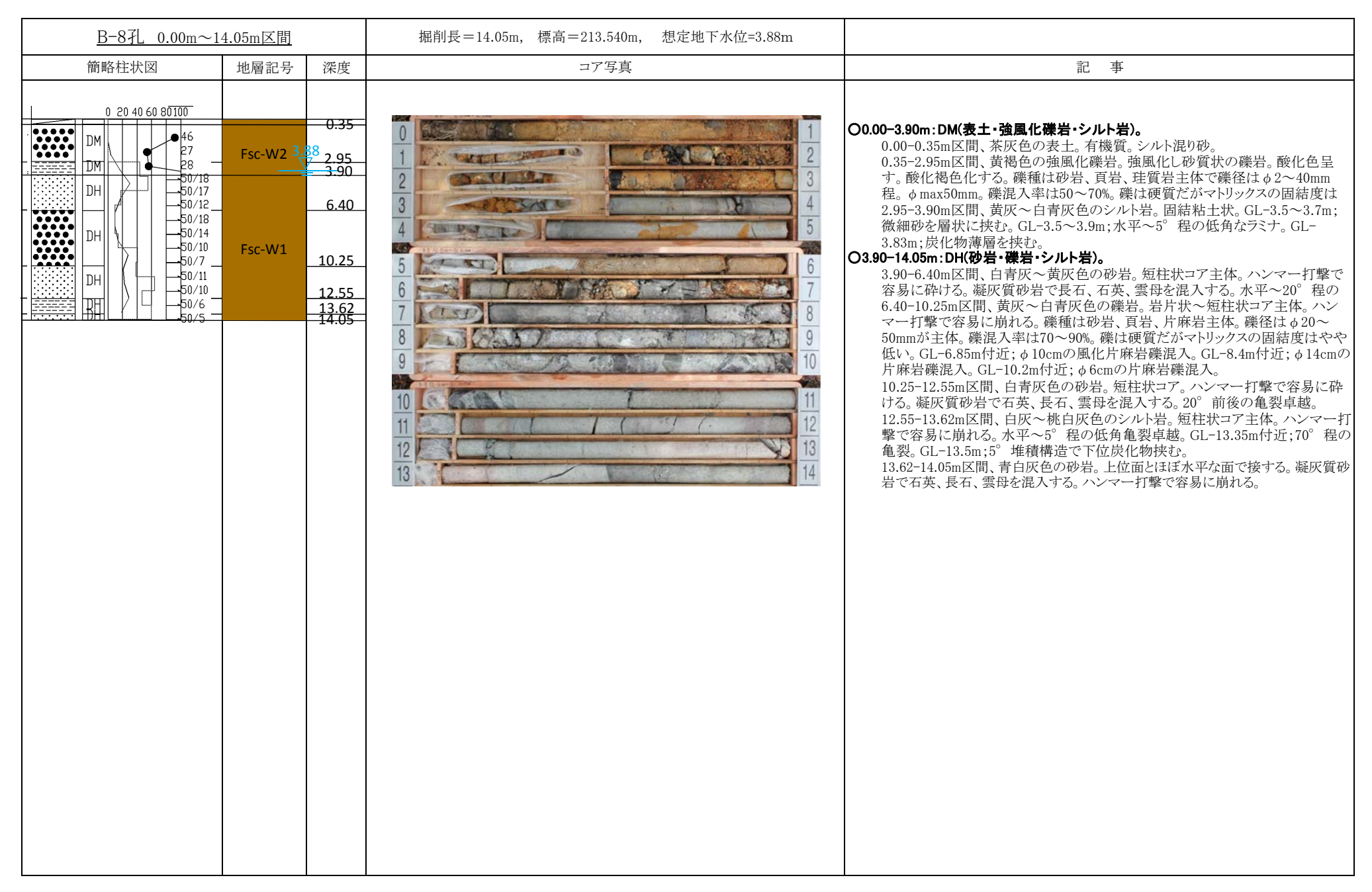
B-3孔 0.00m∼9.10m区間	<u> </u>	掘削長=9.10m,標高=189.718m, 想定地下水位=3.15m	
簡略柱状図 地層記号	深度	コア写真	記 事
0 20 40 60 80100	3 151.50 7 2.35 3 3.50	1 1 2 3 3 4 4 5 5 6 6 7 7 8 8 9 9 10	の.00-0.50mに(表土・シルト混り砂)。 0.00-0.50mに間、茶灰色の表土。有機質。シルト混り砂。風化残留土。細~中砂主体の強風化状コア。上部ほど土砂化が進行している。GL-0.15m;腐植物混入する。GL-0.45、0.85m;木根混入。 0.150-9.10mに別性(風化シルト岩・風化礫岩)。 1.50-2.35m区間、褐白色の風化シルト岩。風化したシルト岩。固結粘土状。砂分を含む。GL-1.8m、1.88m;有機物混入。2.35-9.10m区間、褐~黄灰色の風化礫岩、角礫状コア主体。風化が進行している。ハンマー打撃で容易に崩れる。礫種は砂岩、貫岩、片麻岩・珪質岩主体で礫径はする2~30mm主体。壊混入率は30mの大の%、マリックスの固結度はやや低い、礫硬質。酸化褐色化する。GL-2.65~2.78m; ∮13cmの片麻岩礫混入する。GL-5.42~5.52m; ∮10cmの片麻岩礫混入。GL-5.2~5.6m;シルト岩を挟











4-3. 孔内水位測定結果

ボーリング掘削時に測定した孔内水位状況を図 4-3-1~4-3-8 に一覧する。同図より、各孔の想定地下水位及び、その設定根拠を表 4-3-1 に示す。

B-6 は無水掘削時に自然水位を確認したが、それ以外の孔については、無水掘削時に自然水位を確認する前に送水掘削を開始したため作業後水位と翌朝作業前水位から想定地下水位を設定した。

想定地下水位 孔口標高 孔番 地下水位の設定根拠 GH=TP(m) GL-(m)7/3の翌朝より水位を確認。水位は掘削に伴って2~2.5m程低 B-1178.320 9.60 下し安定している。水位の被圧変化等も認められない。地山 の地下水位は最も低いGL-9.60mに設定した。 6/25の翌朝より水位を確認。水位は掘削に伴って低下し被圧 B-2166, 545 6.75 等も認められない。地山の地下水位は最も低いGL-6.75mに設 定した。 6/22の翌朝より水位を確認。水位は掘削に伴って低下し被圧 B-3 等も認められない。地山の地下水位は最も低いGL-3.15mに設 189.718 3.15 6/23の翌朝より水位を確認。水位は掘削に伴って低下し被圧 B-4 222.456 等も認められない。6/25は孔内逸水し水位無である。地山の 23.80 地下水位は最も低いGL-23.80mに設定した。 6/18の翌朝より水位を確認。水位は掘削に伴って低下し被圧 等も認められない。地山の地下水位は最も低いGL-11.75mに 217.627 B-511.75 設定した。 6/27の無水掘削時に自然水位を確認した。B-6は沢筋で表流 B-6181.744 0.18 水が流れていることから、妥当な水位と判断される。 6/23の翌朝に水位を確認。前日作業後水位より低く被圧等は B-7 203.043 5.13 認められない。地山の地下水位はGL-5.13mに設定した。 6/17の翌朝より水位を確認。水位は掘削に伴って2.7m程低下 し安定している。水位の被圧変化等も認められない。地山の B-8 213.540 3.88 地下水位は最も低いGL-3.88mに設定した

表 4-3-1. 想定地下水位の一覧と根拠

(1) 被圧地下水

図 4-3-1~4-3-8 の孔内水位変動図から被圧地下水は確認されなかった。

(2) 逸水状況

ボーリング掘削時による掘削送水の逸水状況は以下のとおりである。

孔番	逸水深度	地質	逸水状況		
B-1	14.4m付近	盛土・玉石混り砂礫	全逸水		
B-2	3.8m以深	CL級片麻岩	全逸水		
B-4	17m以深	CL級礫岩	全逸水		

表 4-3-2. ボーリング掘削時の逸水状況

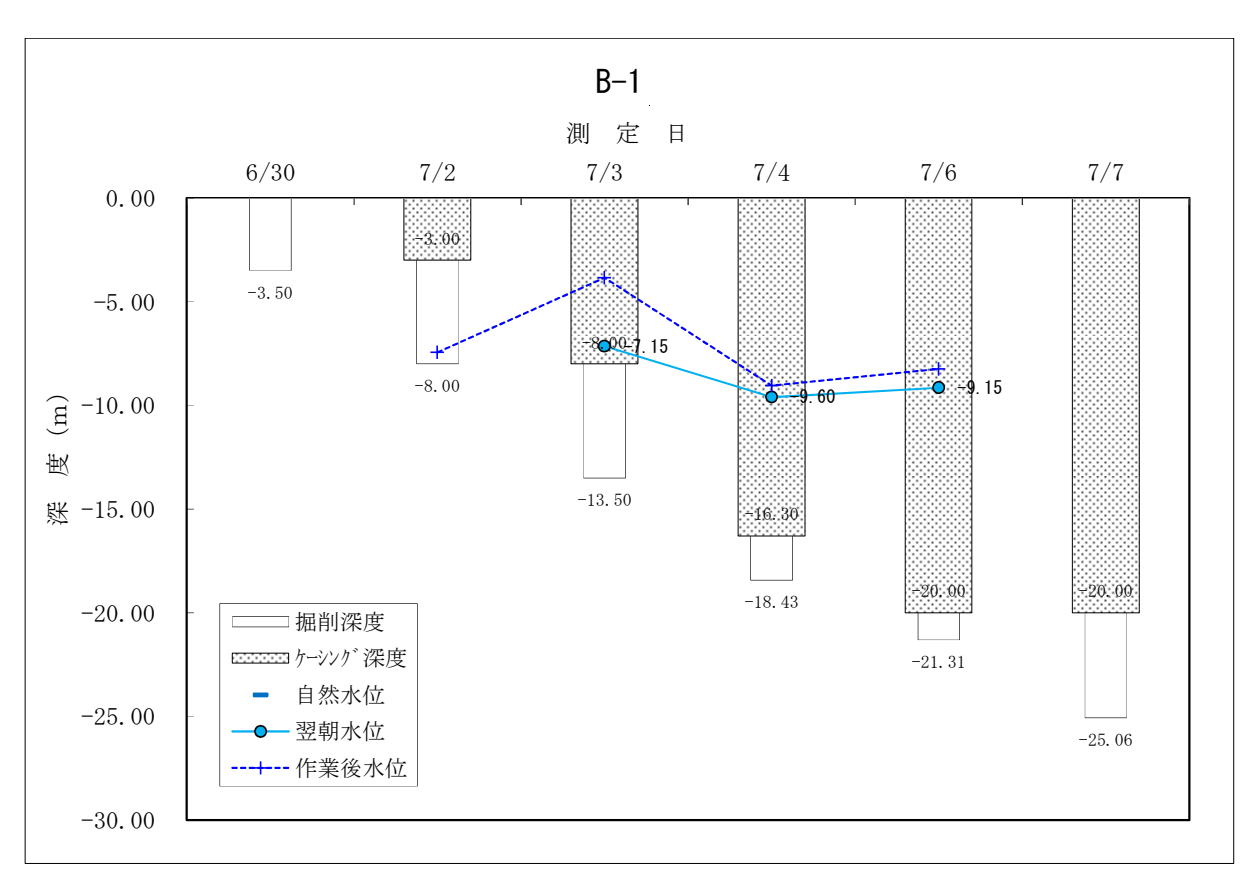


図 4-3-1. 孔内水位変動図 (B-1)

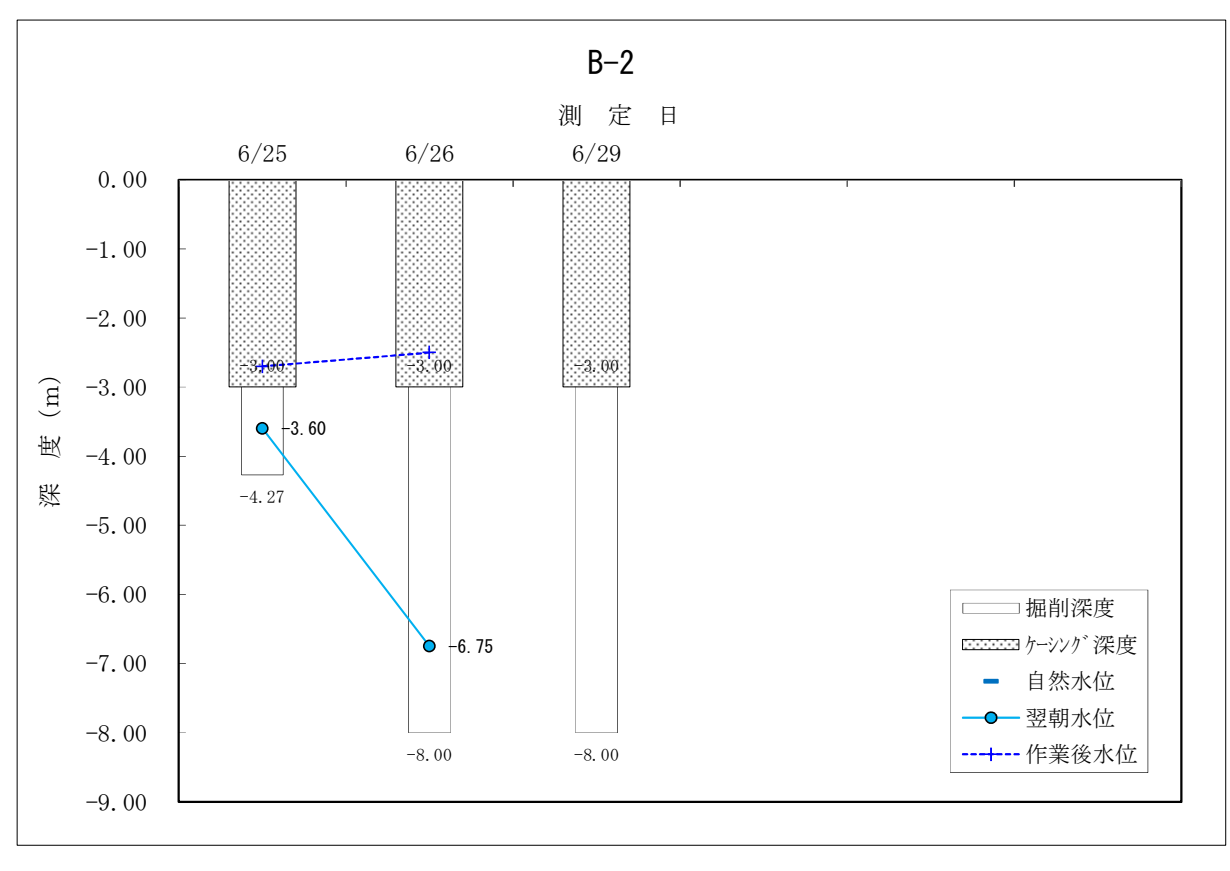


図 4-3-2. 孔内水位変動図 (B-2)

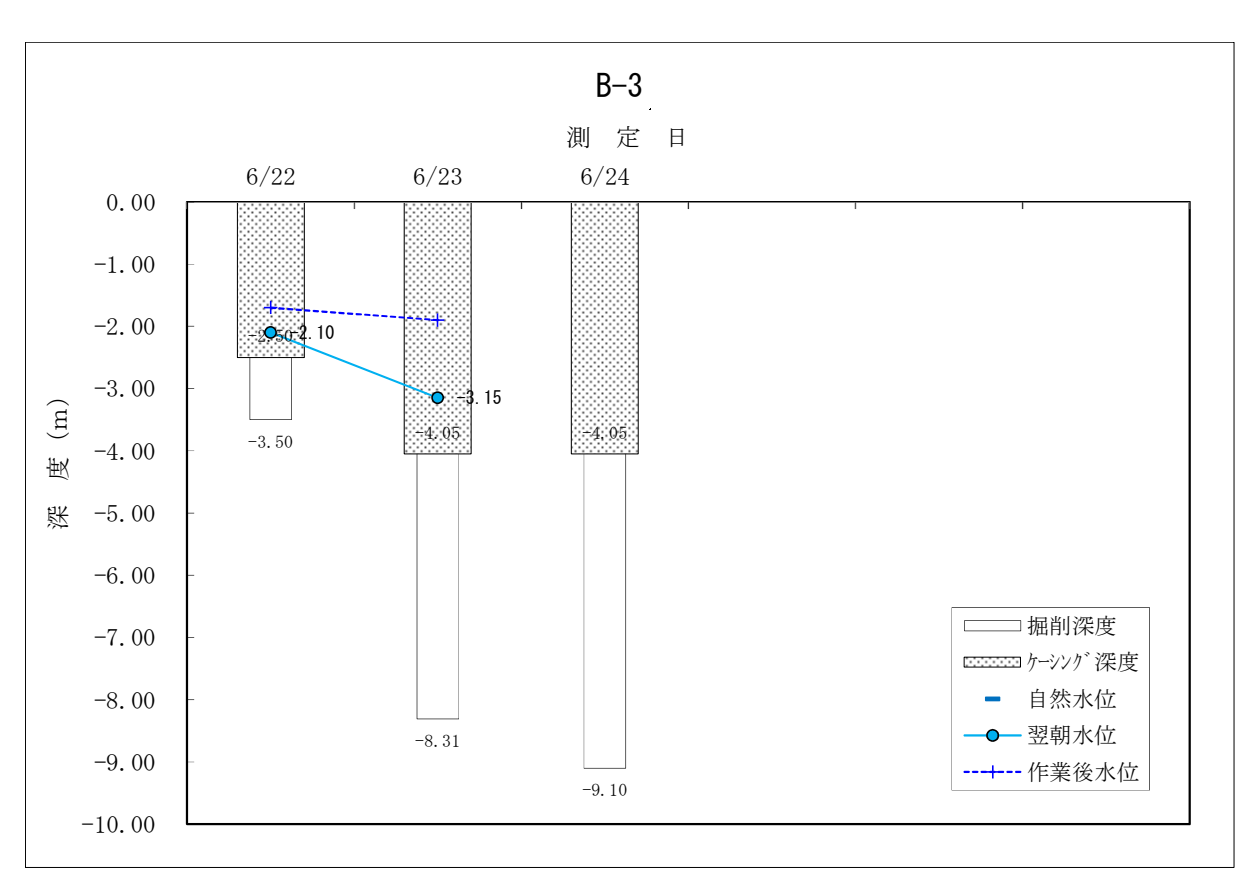


図 4-3-3. 孔内水位変動図 (B-3)

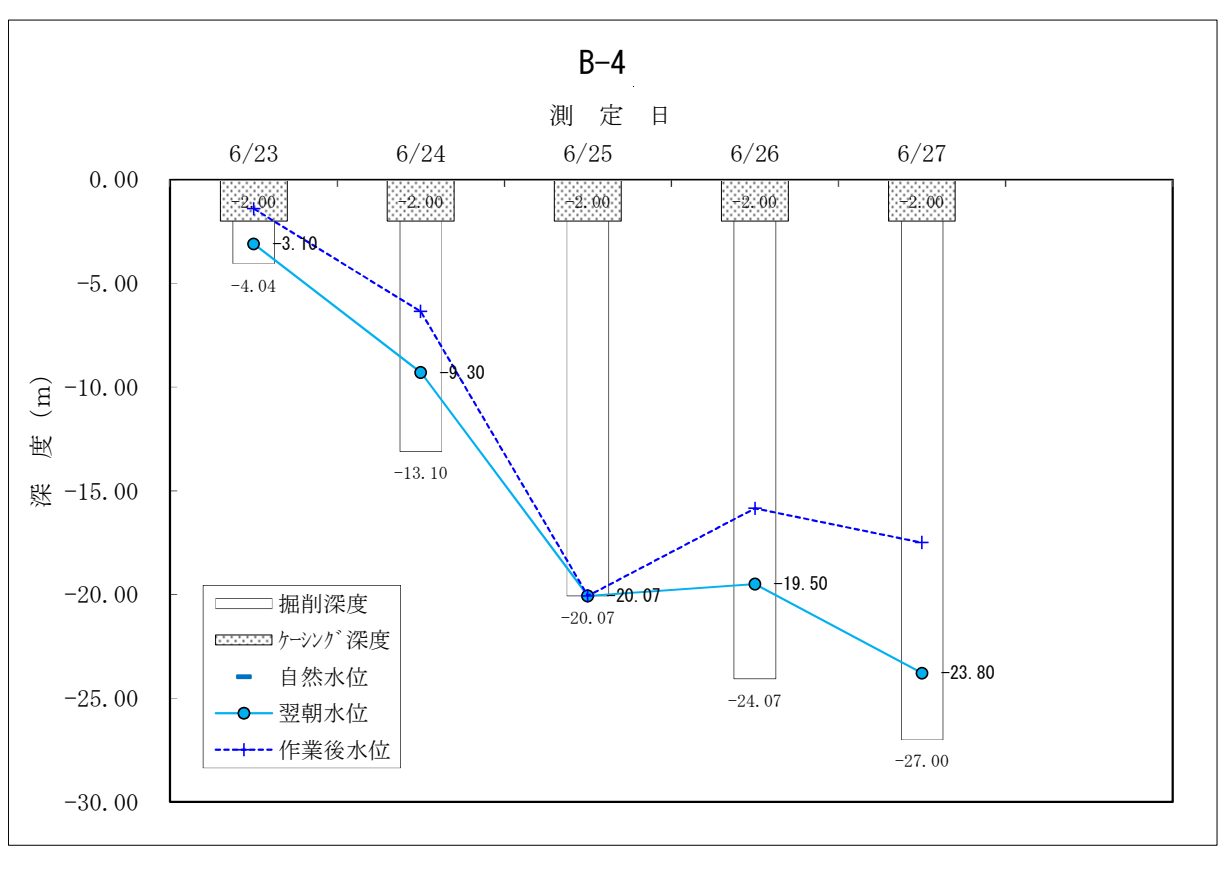


図 4-3-4. 孔内水位変動図 (B-4)

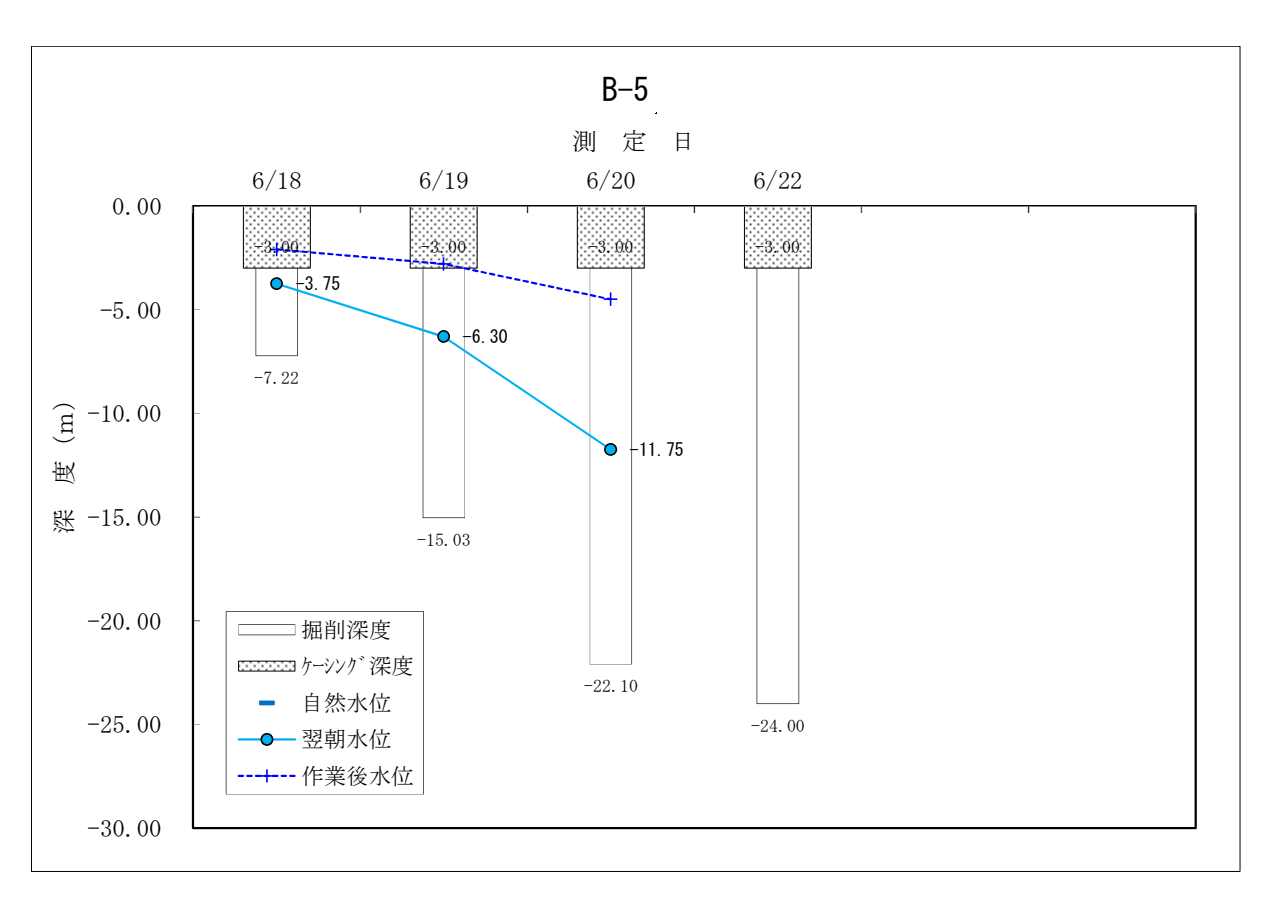


図 4-3-5. 孔内水位変動図 (B-5)

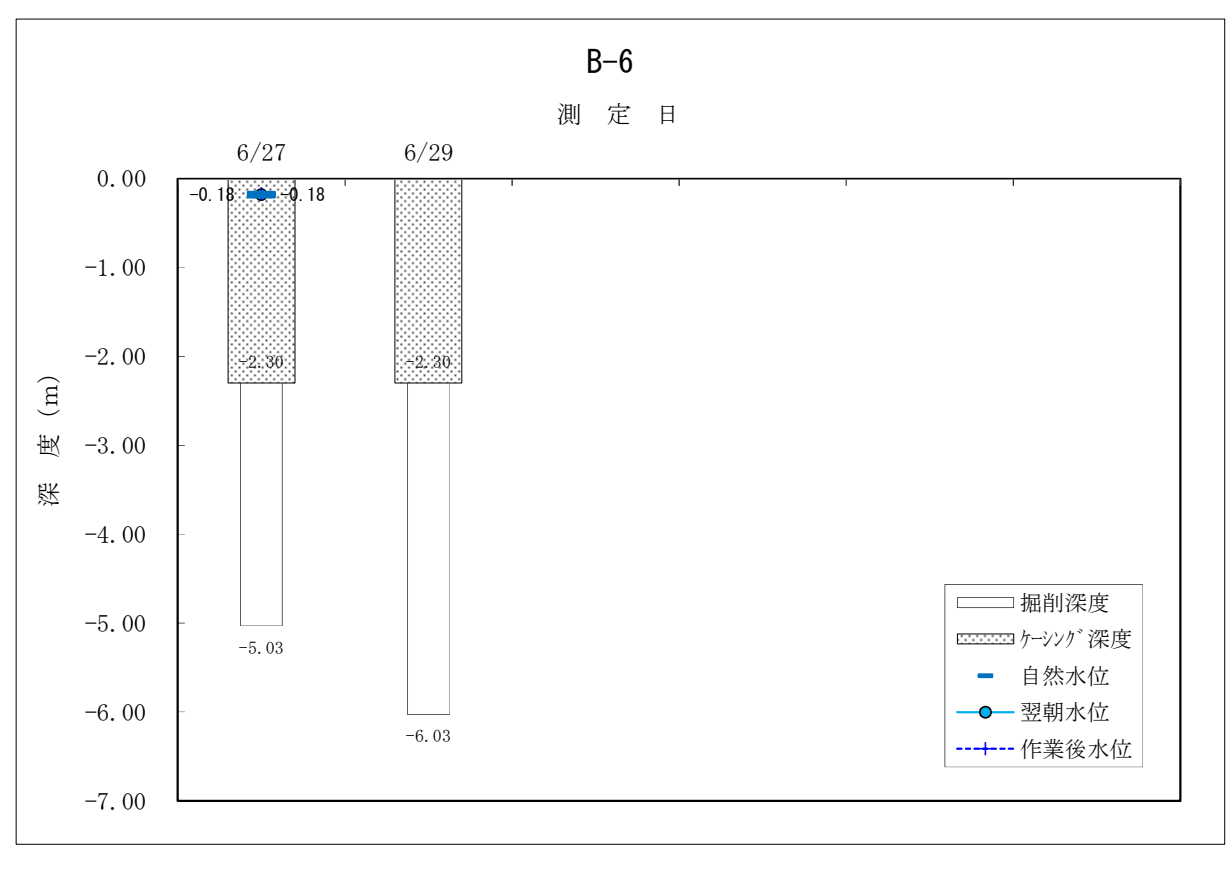


図 4-3-6. 孔内水位変動図 (B-6)

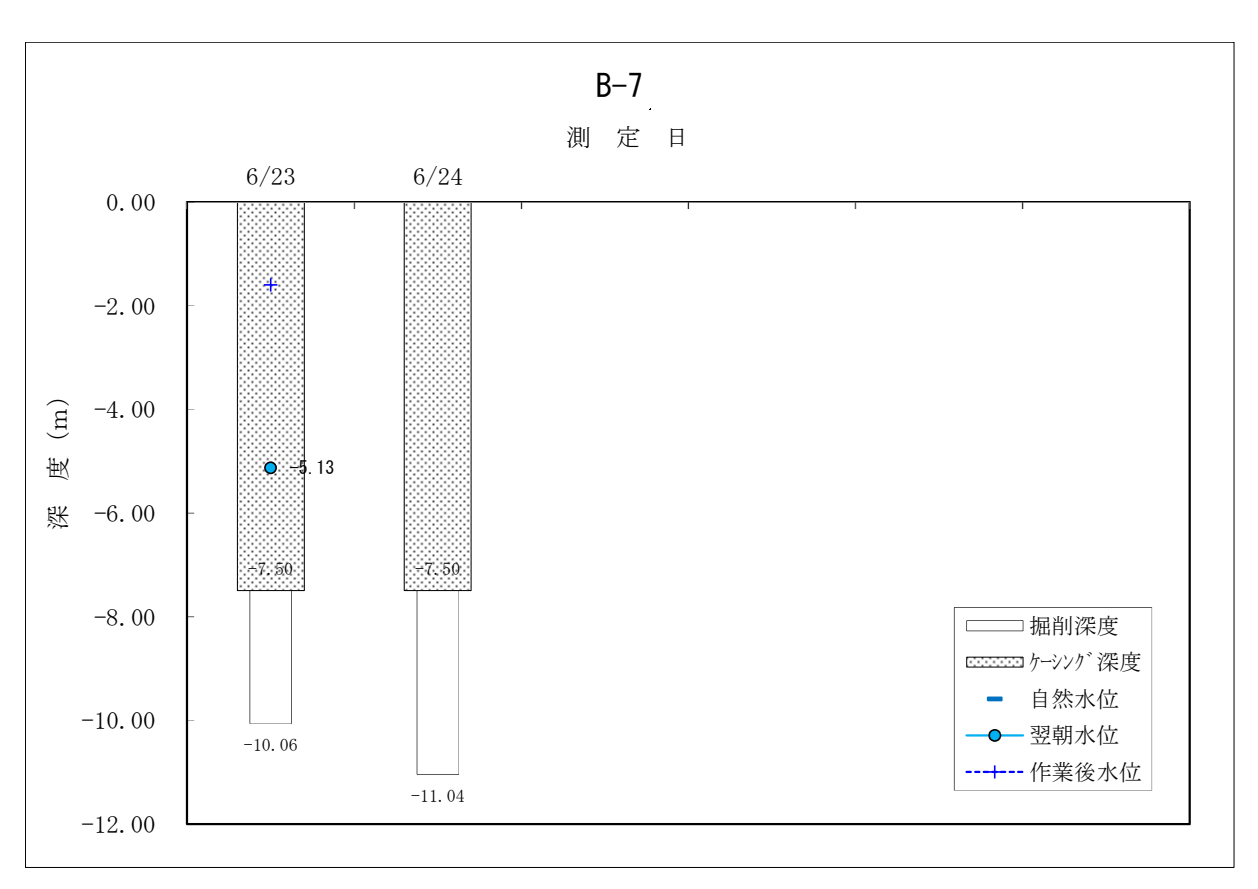


図 4-3-7. 孔内水位変動図 (B-7)

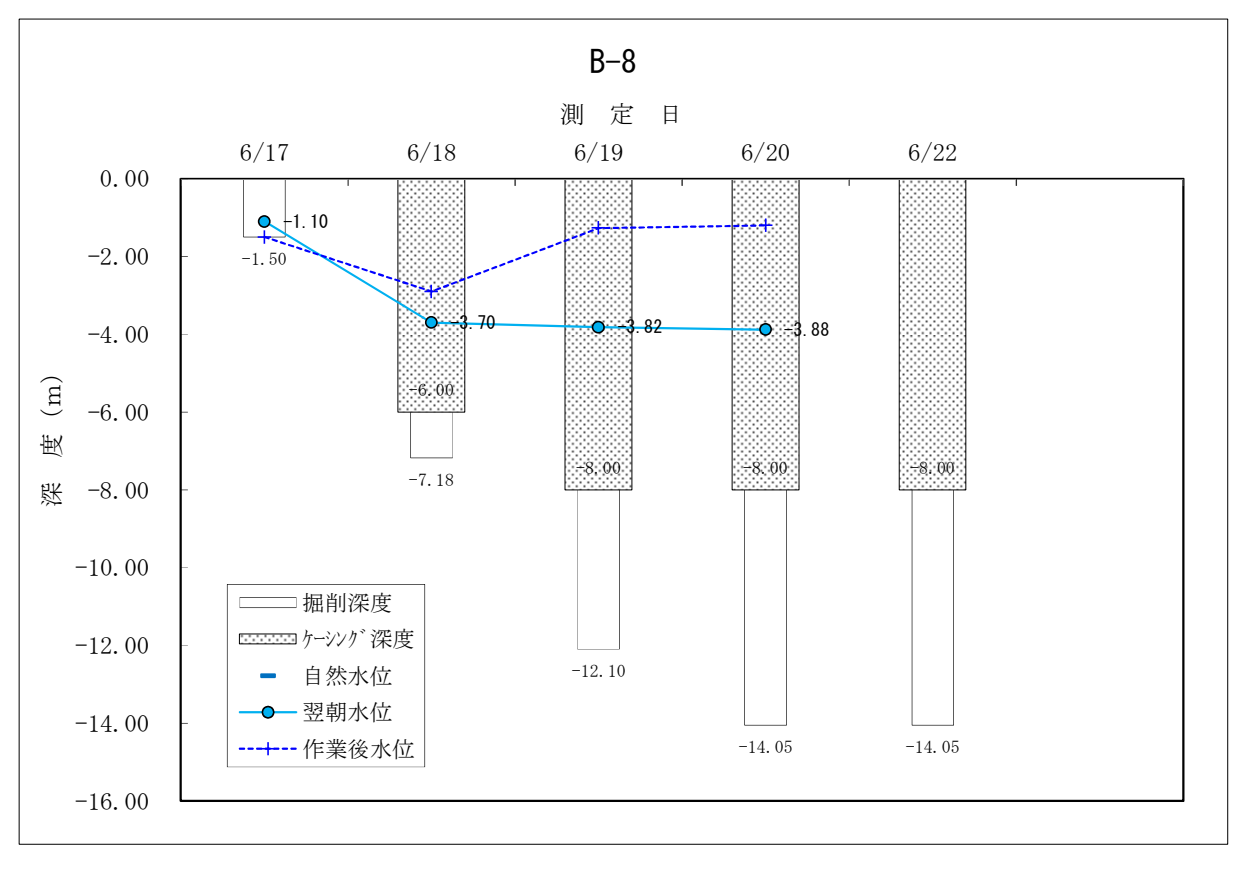


図 4-3-8. 孔内水位変動図 (B-8)

4-4. 標準貫入試験結果

標準貫入試験で得られた N 値を地層毎に集計し、表 4-4-1 に N 値ヒストグラムを一覧する。

N値が50回を超えるものは、土砂についてはN値=50、岩盤についてはN値=300を上限として換算N値 (N>50のN値に対し30cm 貫入時に換算した値)を求めた。 代表N値は、N値のバラツキを考慮し以下の式によって設定した。

代表 N 値 = 平均 N 値 - $(1/2 \times 標準偏差値)$

また、今回調査だけでなく調査地周辺で実施された以下のボーリングデータも使用した。

表 4-4-1. ボーリングデータを使用した既存調査一覧

既存調査報告書	ボーリングデータ
岩井川ダム地質調査業務委託 報告書 平成7年3月	D 1
株式会社シードコンサルタント	B-1
(発注者;奈良県大和川水系ダム建設事務所)	B-2
県単ダム建設関連工事(地質調査) 報告書 平成7年8月	
株式会社シードコンサルタント	В-6
(発注者;奈良県大和川水系ダム建設事務所)	
岩井川ダム・土捨場基礎(土質)調査 報告書 平成2年	三 No. 1
株式会社三協エンジニア	≡ No. 4
(発注者;奈良県大和川水系ダム建設事務所)	<u>≡</u> No. 7

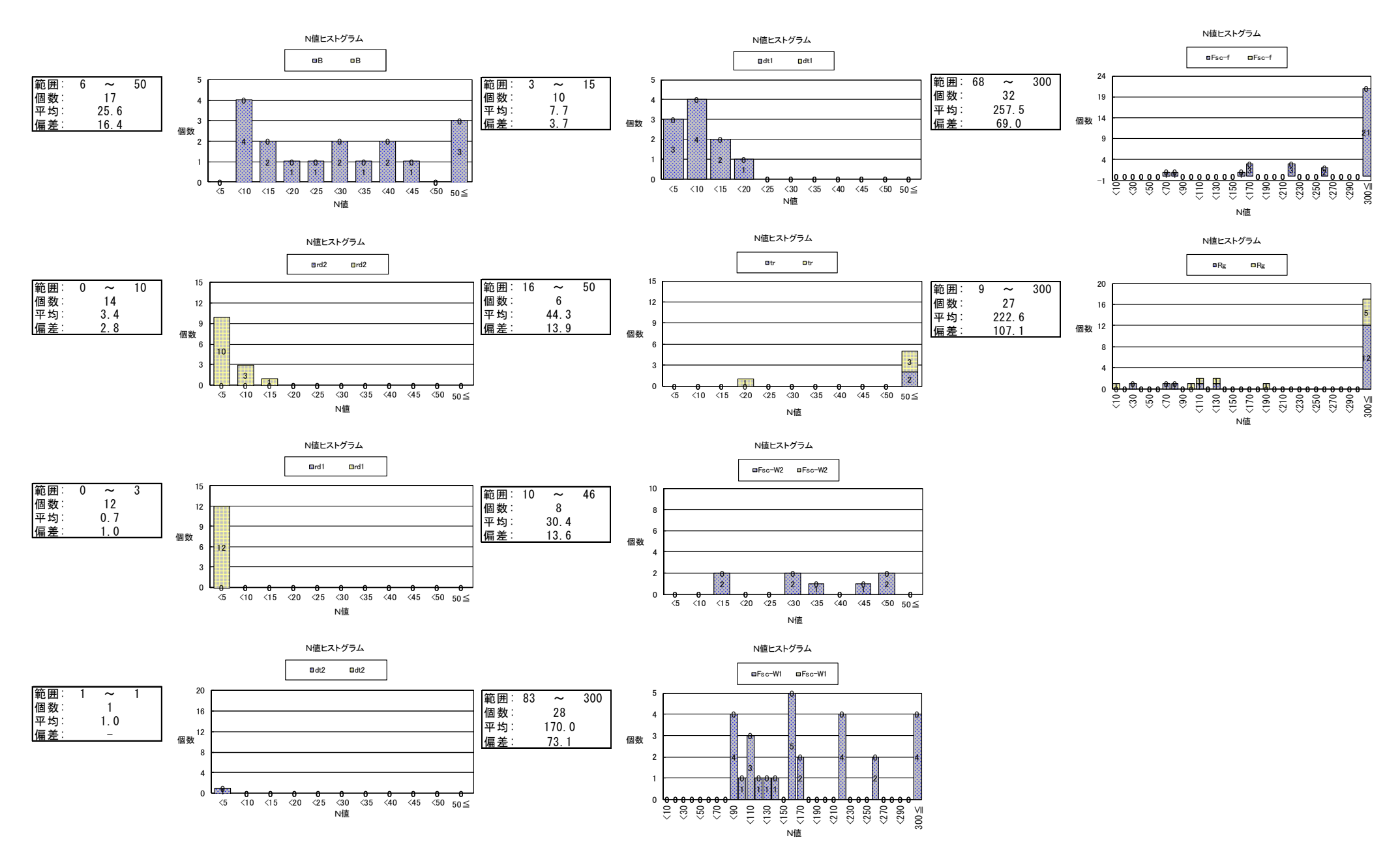


図 4-4-1. 標準貫入試験結果

4-5. 孔内水平載荷試験結果

孔内水平載荷試験は、地盤の変形に対する強度を把握するために実施した。

表 4-5-1 に孔内水平載荷試験結果を一覧する。また、試験データシートについては 巻末に添付した。

孔番	試験区間 GL-m	N値	地質 記号	土質名	静止 土圧 P ₀ kN/m ²	降伏圧 Py kN/m ²	地盤 係数 Km kN/m ³	変形 係数 Em kN/㎡	N値 相関
B-1	7.20 ~ 7.80	36	В	玉石混り 砂礫	700	1,000	456, 000	21, 400	594N
B-1	18.20 ~ 18.80	50/28	tr	砂礫	380	440	150, 700	6,600	122N

表 4-5-1. 孔内水平載荷試験結果の一覧

変形係数と N 値とは、図 4-5-1 に示すように一般的に相関性が良いとされており、経験則より(式 4-5-1)の相関式が成り立つことが知られている。

Em = 700N (kN/m²)・・・・・・・・・・・・・・・・・・・・(式 4-5-1) 出典: 地盤調査の方法と解説 地盤工学会

この点も踏まえながら、以下に今回の試験結果について述べる。

B層の変形係数は 21,400kN/ m^2 であり、N値との相関は E=594N にある。594N<700N となり、一般よりやや低い相関関係にあるが、一般的な 400N~1000N の範囲内の値であり、妥当な結果といえる。

 ${\rm tr}$ 層の変形係数は $6,600 {\rm kN/m^2}$ であり、N 値との相関は $E=122 {\rm N}$ にある。 $122 {\rm N}<700 {\rm N}$ となり、一般より低い相関関係にある。要因としては以下のことが考えられる。

tr 層は河川性の堆積物であるが、マトリックスはコア観察によれば緩い川砂である。N 値は礫当たりによって高い値が出ているが、実際の地盤の強度はもっと低い可能性があり、変形係数はその性状を反映している可能性が挙げられる。よって変形係数としては妥当な値が得られているものと判断される。

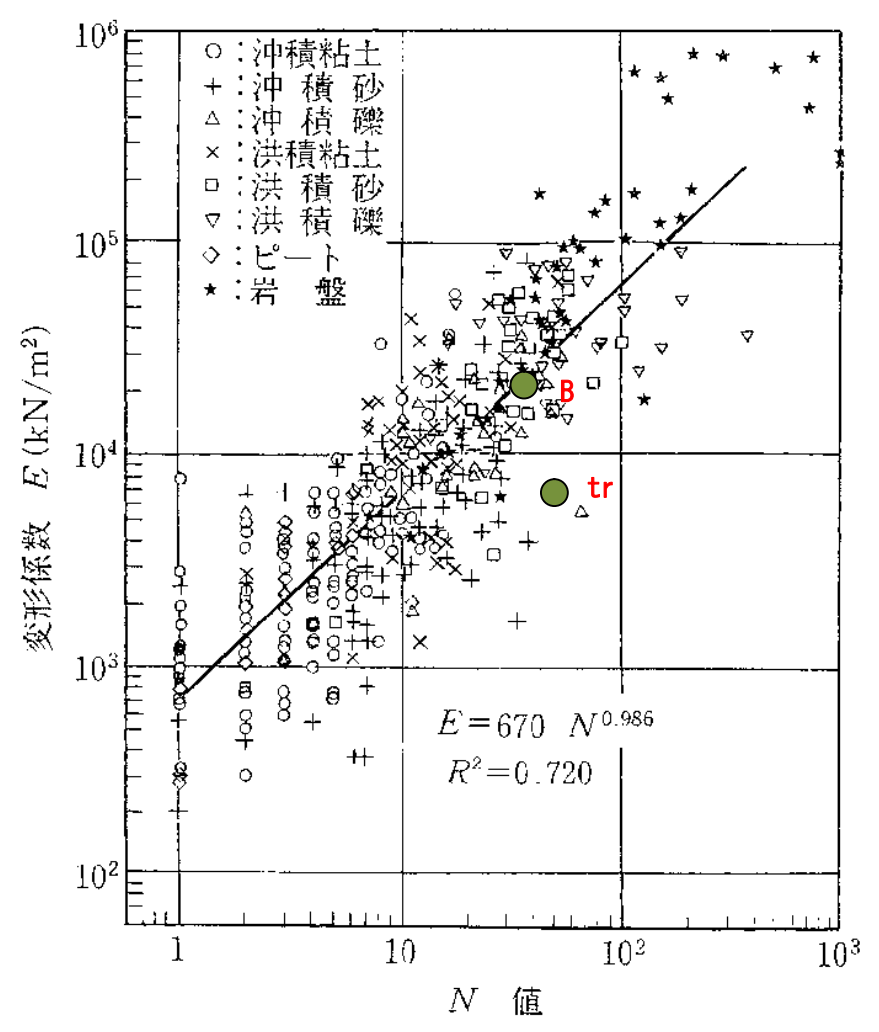


図 4-5-1. 一般的な変形係数と N 値の関係 出典: 地盤調査の方法と解説 地盤工学会

4-6. 室内土質試験結果

標準貫入試験にて採取した試料を用いて、室内土質試験を実施した。 室内土質試験結果を表 4-6-1 に一覧するとともに、試験結果について述べる。詳細な試験結果については、巻末資料データシートに添付した。

表 4-6-1. 室内土質試験結果

	啦	(5)					_
	 	(SG-Cs)	(SCsG)		(SCsG)	(SCsG)	(GCSS)
	地盤材料の分類名	粘性土まじり礫質砂	粘性土質礫質砂		粘性土質礫質砂	粘性土質礫質砂	<u>*</u> * * * * * * * * * * * * * * * * * *
	均等 係数 U _c	-	ı		ı	-	ı
	D50 (mm)	0.66	0.78	0.72	0.68	0.31	
	D20 (mm)	0. 21	ı	0.21	I	ı	ı
粒度	D10 (mm)	-	ı		ı	ı	I
**	粘土分 (%)	14.6	21.8	18.2	28.0	34.5	4
	沙朴分 (%)	14	21	18	28	34	20.4
	砂分(%)	50.4	40.4	45.4	53.3	47.1	37.9
	藥分 (%)	35.0	37.8	36. 4	18.7	18.4	41, 7
中	含水比 Wn (%)	27.0	20.9	24.0	19.7	14.6	10.9
十二	の密度 ρs (g/cm³)	2. 638	2. 662	2, 650	2.603	2.643	2, 638
	N値	9	7		3	7	2.7
	地層区分	В	В		dt2	dt1	Fsc-W2
			14.45		1.46	4.45	2, 45
深 度 (GL- m)		$10.15 \sim 10.45$	$14.15 \sim 14.45$	勾	$1.15 \sim$	$4.15 \sim$	2, 15 ~ 2, 45
	試料番号	P1-1	P1-2	B平均	P6-1	P7-1	P8-1
	ボーJング 番号	B-1	B-1		B-6	B-7	B-8

(1) 土粒子の密度試験

表 4-6-2 に地層別の平均土粒子の密度を一覧にし、図 4-6-1 に地層別の土粒子の密度の分布図を示す。

地層名	地層記号	土粒子の密度 ρ (g/cm³)
盛土	В	2.638
盛土	В	2.662
崖錐性堆積物	dt2	2.603
崖錐性堆積物	dt1	2.643
強風化礫岩	Fsc-W2	2.638

表 4-6-2. 地層別の平均土粒子の密度

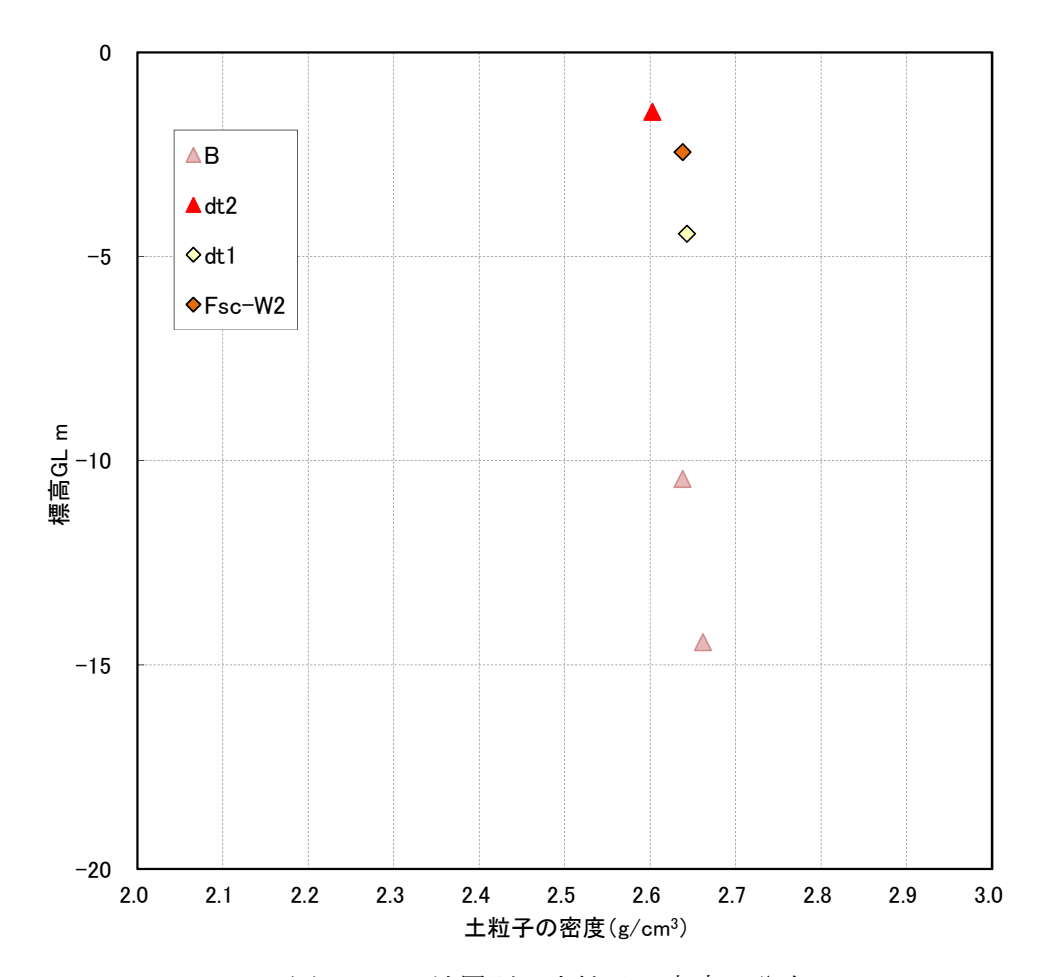


図 4-6-1. 地層別の土粒子の密度の分布

土粒子の密度は、有機物・鉱物等の含有によって土粒子の密度が変わってくる。 表 4-6-3 の表中によれば、沖積砂質土・洪積砂質土層で 2.6~2.8g/cm³、沖積粘性 土・洪積粘性土層で 2.5~2.75 g/cm³が、一般的な値とされている。

表 4-6-1、図 4-6-1 に示す土粒子の密度は、2.6 \sim 2.7g/cm³ に間にあり、一般的な値を示しているといえる。

表 4-6-3. 主な鉱物と土粒子の密度の例

鉱 物 名	密度 ρ _s (g/cm³)	土質名	密度 ρ _s (g/cm³)
石英	2.6~2.7	豊浦砂	2.64
長石	2.5~2.8	沖積砂質土	2.6 ~2.8
雲母	2.7~3.2	沖積粘性土	2.50~2.75
角閃石	2.9~3.5	洪積砂質土	2.6 ~2.8
輝石	2.8~3.7	洪積粘性土	2.50~2.75
磁鉄鉱	5.1~5.2	泥炭(ピート)	I.4 ~2.3
クロライト	2.6~3.0	関東ローム	2.7 ~3.0
イライト	2.6~2.7	まさ土	2.6 ~2.8
カオリナイト	2.5~2.7	しらす	1.8 ~2.4
モンモリロナイト	2.0~2.4	黒ぼく	2.3 ~2.6

出典:地盤材料試験の方法と解説 地盤工学会

(2) 自然含水比

表 4-6-4 に地層別の平均自然含水比を一覧にし、図 4-6-2 に地層別の自然含水比の 分布図を示す。

表 4-6-4. 地層別の平均自然含水比

地層名	地層記号	自然含水比Wn(%)
盛土	В	27. 0
盛土	В	20. 9
崖錐性堆積物	dt2	19. 7
崖錐性堆積物	dt1	14. 6
強風化礫岩	Fsc-W2	10. 9

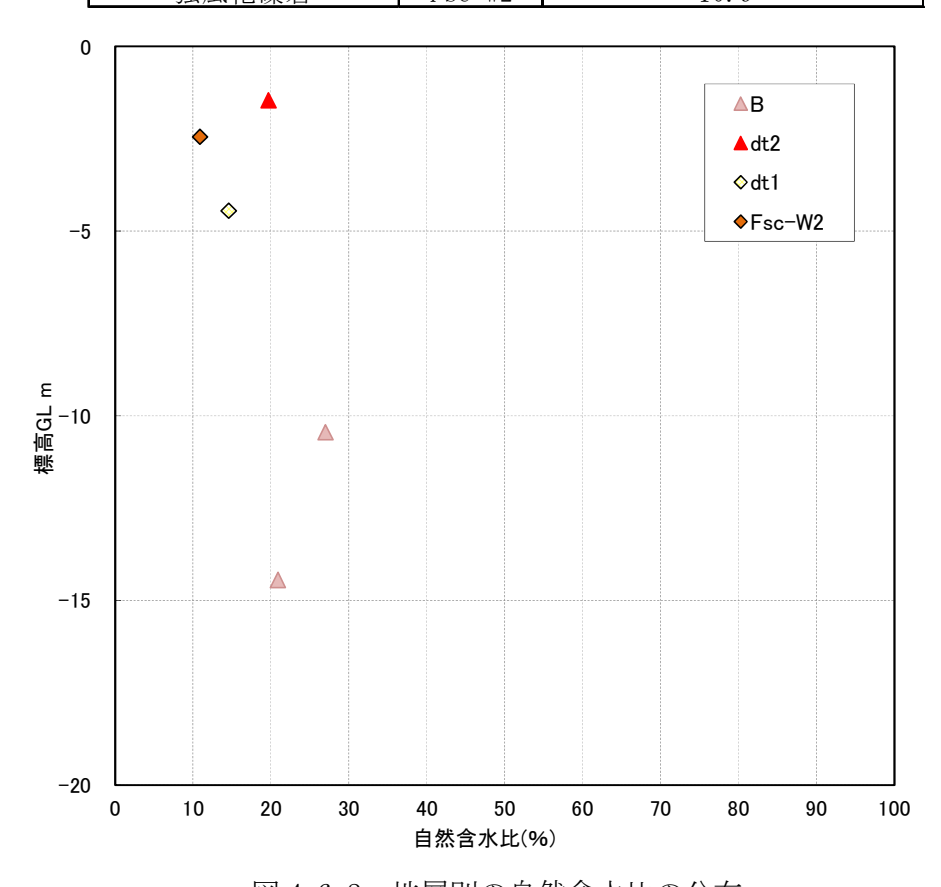


図 4-6-2. 地層別の自然含水比の分布

平均自然含水比は、盛土層 Wn=20.9~27.0%、崖錐性堆積物層 Wn=14.6、19.7%、強風化礫岩 Wn=10.9%である。

表 4-6-5 の測定例では、試料は沖積層砂質土に該当し 10~30%の一般的な範囲になっている。

表 4-6-5. 自然含水比の測定例

	沖利	責層	洪積層	関東	高有機	
	粘性土	砂質土	粘性土	ローム	質 土	
湿潤密度ρ _t (g/cm³)	1.2~1.8	1.6~2.0	1.6~2.0	1.2~1.5	0.8~1.3	
乾燥密度ρ _d (g/cm³)	0.5~1.4	1.2~1.8	1.1~1.6	0.6~0.7	0.1~0.6	
含水比 w(%)	30~150	10~30	20~40	80~180	80~1 200	

出典:地盤材料試験の方法と解説 地盤工学会

(3) 粒度特性

地盤材料の粒径区分を図 4-6-3 に示す。また図 4-6-4 によれば、粒度加積曲線から 流砂現象の起こりやすい範囲の指標が示されている。

地層毎の粒径加積曲線を図 4-6-5 に示す。

粒径(mm) 0.075 細砂 中砂 中礫 粗砂 細礫 粗礫 粗石 巨石 土 シルト 粘 砂 礫 石 細粒分 粗粒分 石分

図 4-6-3. 地盤材料の粒径区分出典; 地盤材料試験の方法と解説 地盤工学会

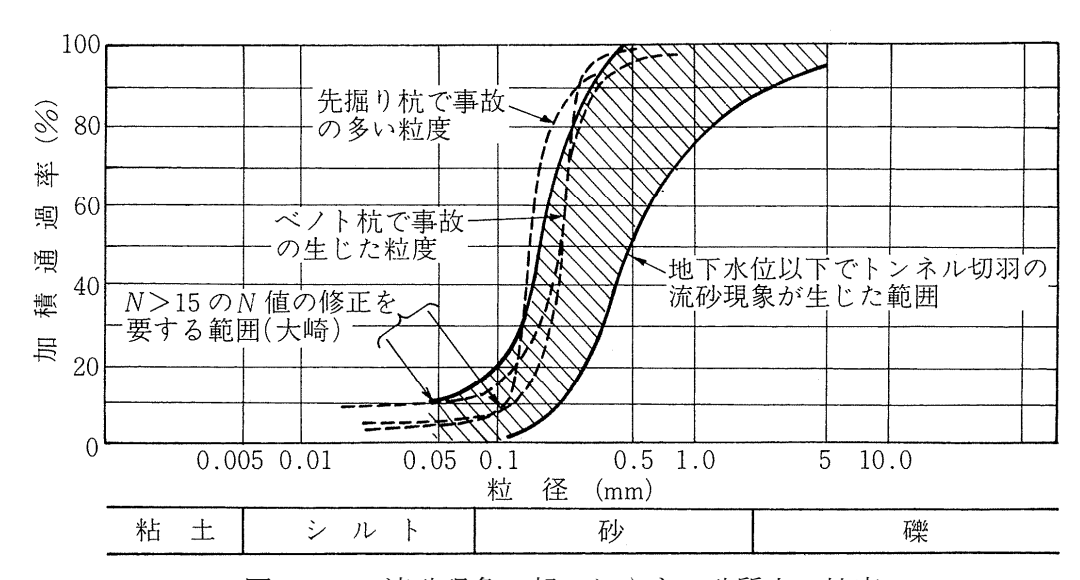
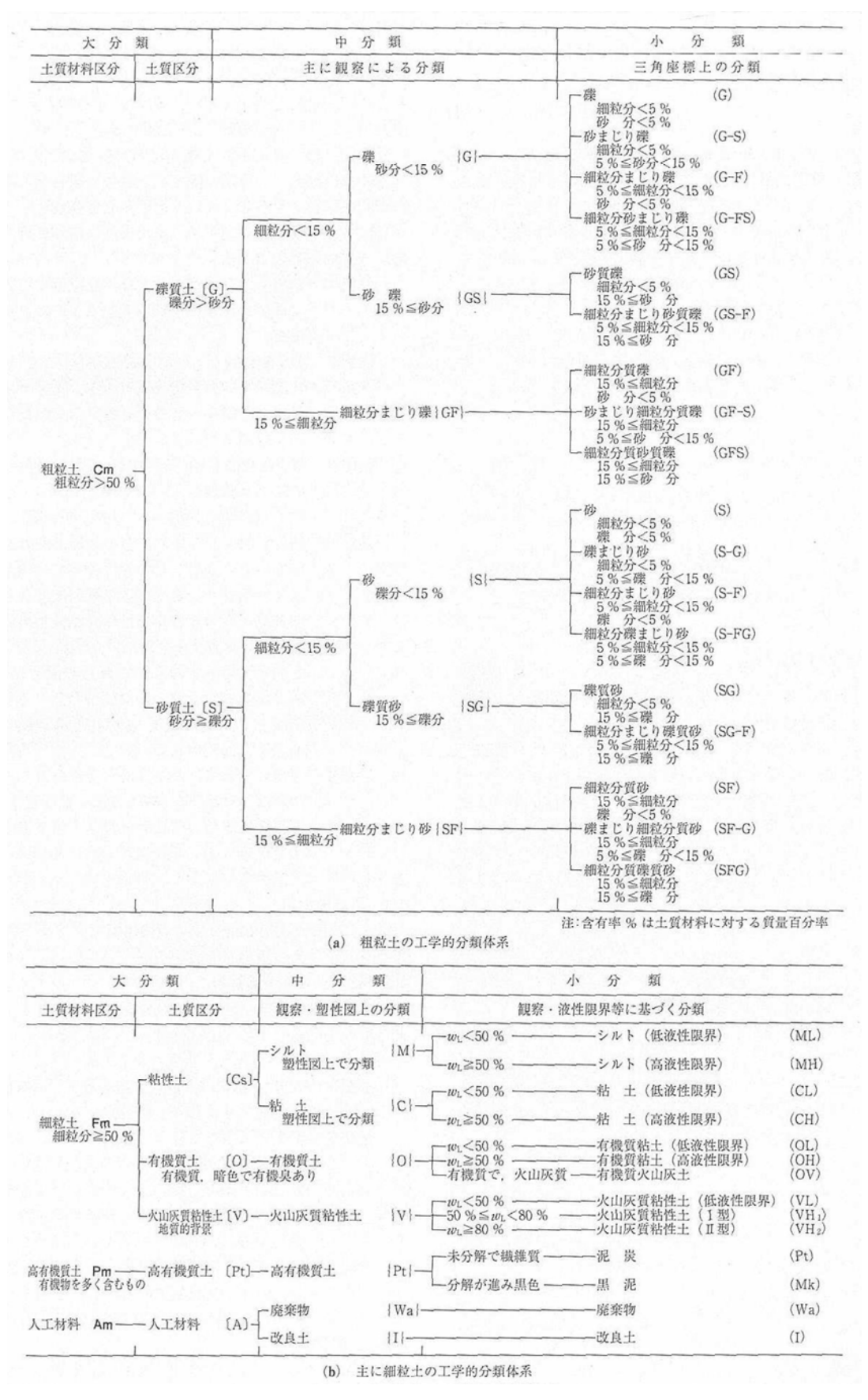


図 4-6-4. 流砂現象の起こりやすい砂質土の粒度 出典; 杭基礎の調査・設計から施工まで 地盤工学会

表 4-6-6. 土質材料の工学的分類表



出典:地盤材料試験の方法と解説 地盤工学会

以下、地層別に試験結果を述べる。

1)盛土層(B)

粒度分布は、礫分 35.0~37.8%、砂分 40.4~50.4%、細粒分 14.6~21.8%となり、「粘性土まじり礫質砂~粘性土質礫質砂」に分類される。粒度分布は流砂現象の起こりやすい粒度分布とは曲線形状がやや異なるが、粒度範囲は近い位置にある。

2) 崖錐性堆積物層(dt2)

粒度分布は、礫分 18.7%、砂分 53.3%、細粒分 28.0%となり、「粘性土質礫質砂」に分類される。粒度分布は流砂現象の起こりやすい粒度分布に似た曲線形状を示し、粒度範囲も近い位置にある。

3) 崖錐性堆積物層(dt1)

粒度分布は、礫分 18.4%、砂分 47.1%、細粒分 34.5%となり、「粘性土質礫質砂」に分類される。粒度分布は流砂現象の起こりやすい粒度分布に似た曲線形状を示し、粒度範囲も近い位置にある。

4) 強風化礫岩(Fsc-W2)

粒度分布は、礫分 41.7%、砂分 37.9%、細粒分 20.4%となり、「粘性土質砂質礫」に分類される。粒度分布は流砂現象の起こりやすい粒度分布とは曲線形状がやや異なるが、粒度範囲は近い位置にある。

100 粗 粟 10.0 10.0 世 流動化しやすい砂 の粒度分布の範囲 流動化しやすい砂 の粒度分布の範囲 継 都縣 栗 8 1.0 (mm) (mm) 径加積曲線 0.850 0.850 繗 # 1 讏 0.250 欿 0.250 匥 廿 篊 0.1 粟 0.1 챛 栗 苡 0.075 0.075 0.01 0.01 0.005 Fsc-W2 dt. 架 0.001 ₽ (%) 2 100 90 80 20 日本統一 土質分類 ₽ (%) 100 90 80 9 20 40 20 10 率代百量寶戲戲 100 75 继 # 19 10.0 継 - 流動化しやすい砂 の粒度分布の範囲 流動化しやすい砂 の粒度分布の範囲 継 继 果 金里 (mm) 粟 蘂 (IIII) 0.850 灓 # # 續 讏 硂 早 0.250 倿 早 篊 篊 0.1 対 果 챛 苡 0.1 0,075 0.01 Α. 0.01 0.005 0.005 +1 架 dt2 架 0.001 0.001 06 80 2 .09 20 40 30 20 日本統一 土質分類 100 90 80 20 09 20 20 10 0 日本統一 上質分類 率代百量寶戲戲 (%) (%) 率代百量資歐重

- 47 -

粒径加積曲線

 $\boxtimes 4-6-5$.